

Projekt Metody Obliczeniowe

Piotr Gębala
Informatyka WFMil
gr.22
nr.indeksu: 93983

1. Temat projektu.

Zagadnienie z warunkiem początkowym i brzegowym obejmuje:
równanie różniczkowe cząstkowe

$$\frac{\partial U(x,t)}{\partial t} = D \left[\frac{\partial^2 U(x,t)}{\partial x^2} + \pi^2 \sin(\pi x) \right]$$

określone dla współrzędnej przestrzennej: $x \in [0, 1]$ oraz czasu $t \in [0, t_{\max}]$:

warunek początkowy: $U(x, 0) = 0$

warunki brzegowe: $U(0, t) = 0, U(1, t) = 0$

Zagadnienie to może opisywać powstanie stanu ustalonego dla stężenia substancji o współczynniku dyfuzji D , w membranie o grubości 1 i przenikalnych ściankach, w wyniku ucieczki substancji z membrany wskutek transportu dyfuzyjnego, oraz powstawania tej substancji wewnątrz membrany.

Rozwiązanie analityczne tego równania: $U(x, t) = [1 - \exp(-\pi^2 D t)] \sin(\pi x)$

Parametry: $t_{\max} = 0.5, D = 1$

Dyskretyzacja:

- Klasyczna Metoda Bezpośrednia
- Metoda Pośrednia Laasonen

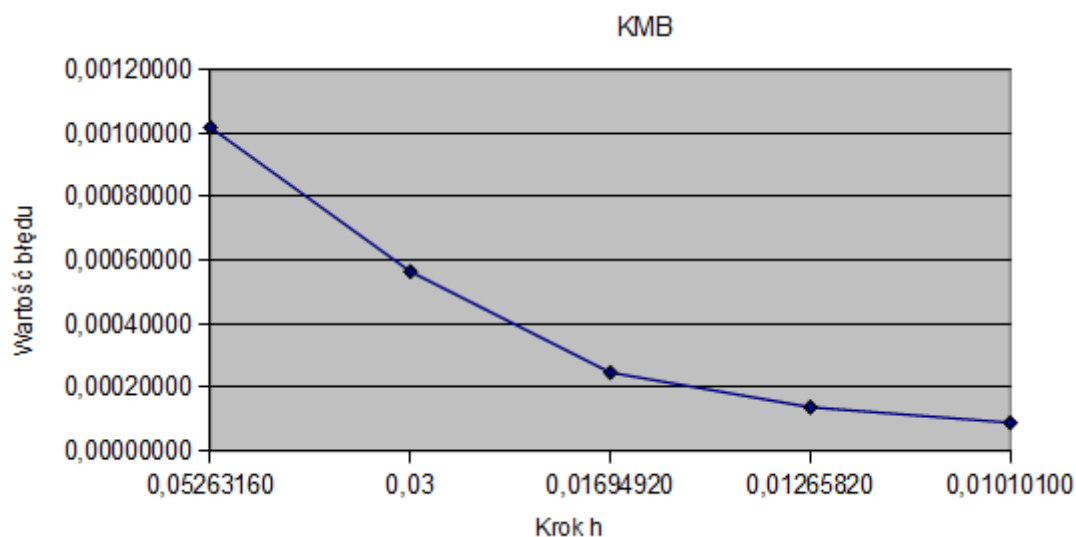
Rozwiązanie algebraicznych układów równań liniowych:

- Algorytm Thomasa

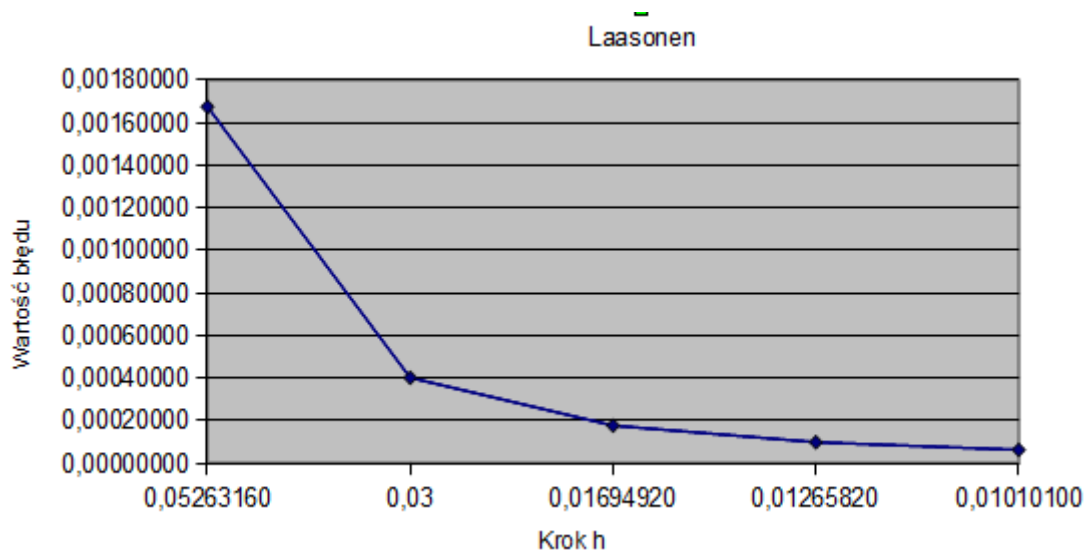
2. Wykresy.

a). Wykresy zależności maksymalnej wartości bezwzględnej błędu obserwowanej dla t_{\max} , w funkcji kroku przestrzennego h .

Dla KMB:



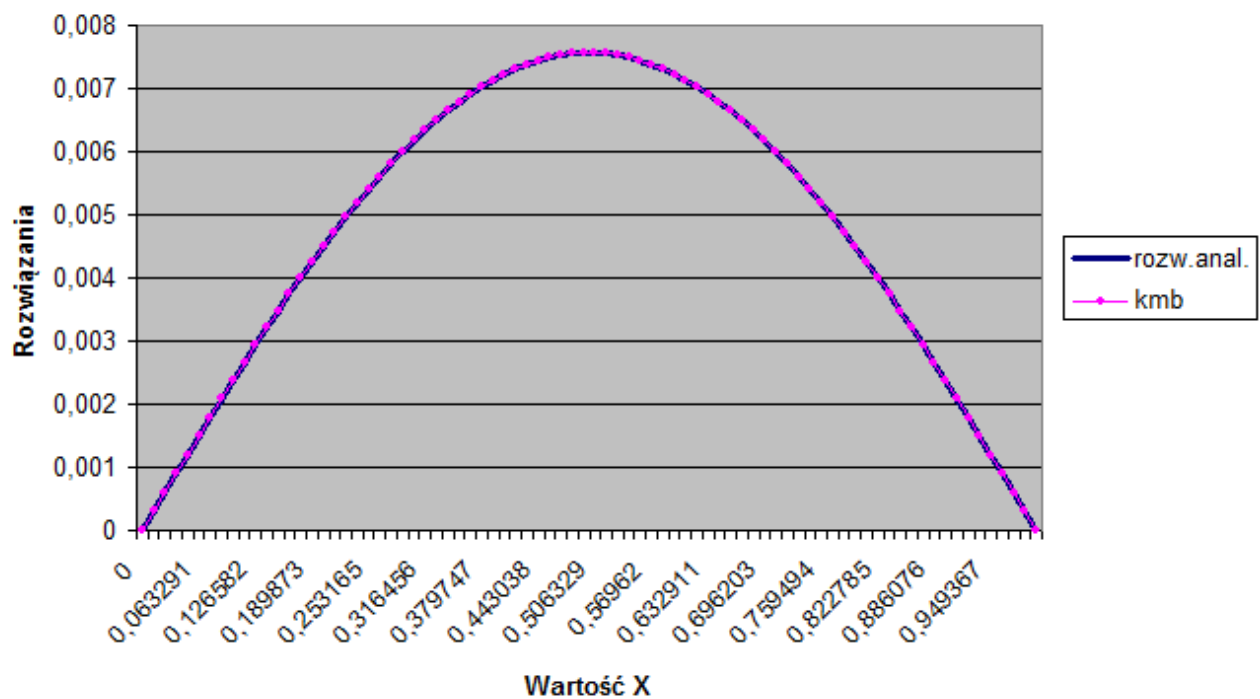
Dla Laasonen + Thomas:



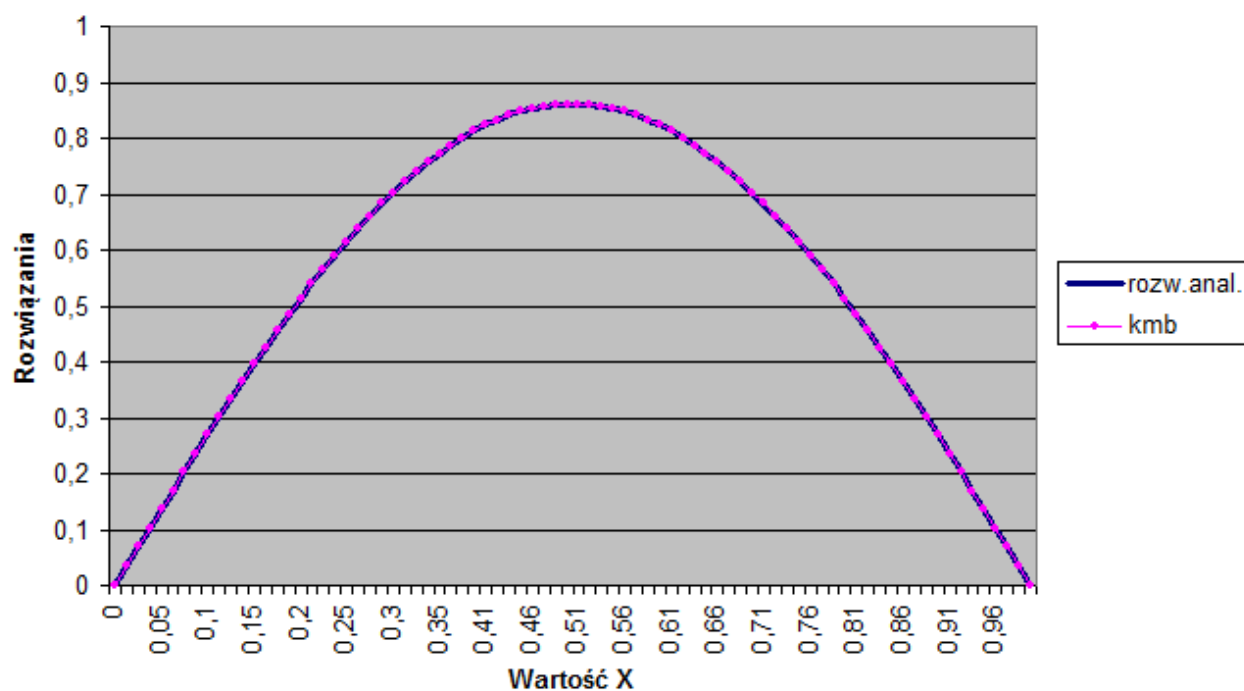
b). Wykresy rozwiązań numerycznych i analitycznych dla kilku wybranych wartości czasu t z całego przedziału t .

Dla KMB:

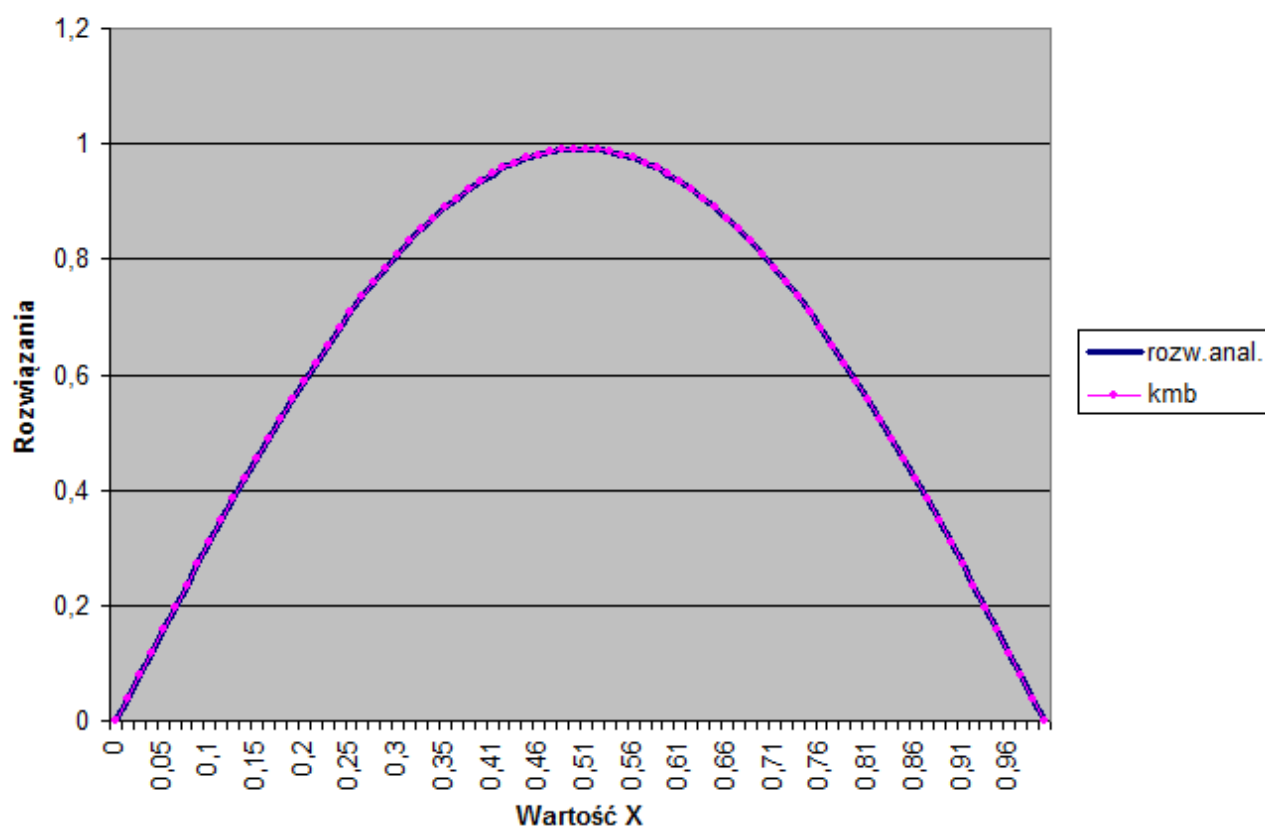
Wykres rozwiązań analitycznych oraz numerycznych (KMB) dla $T=0,000769108$



Wykres rozwiązań analitycznych oraz numerycznych (KMB) dla
 $T=0,20016$

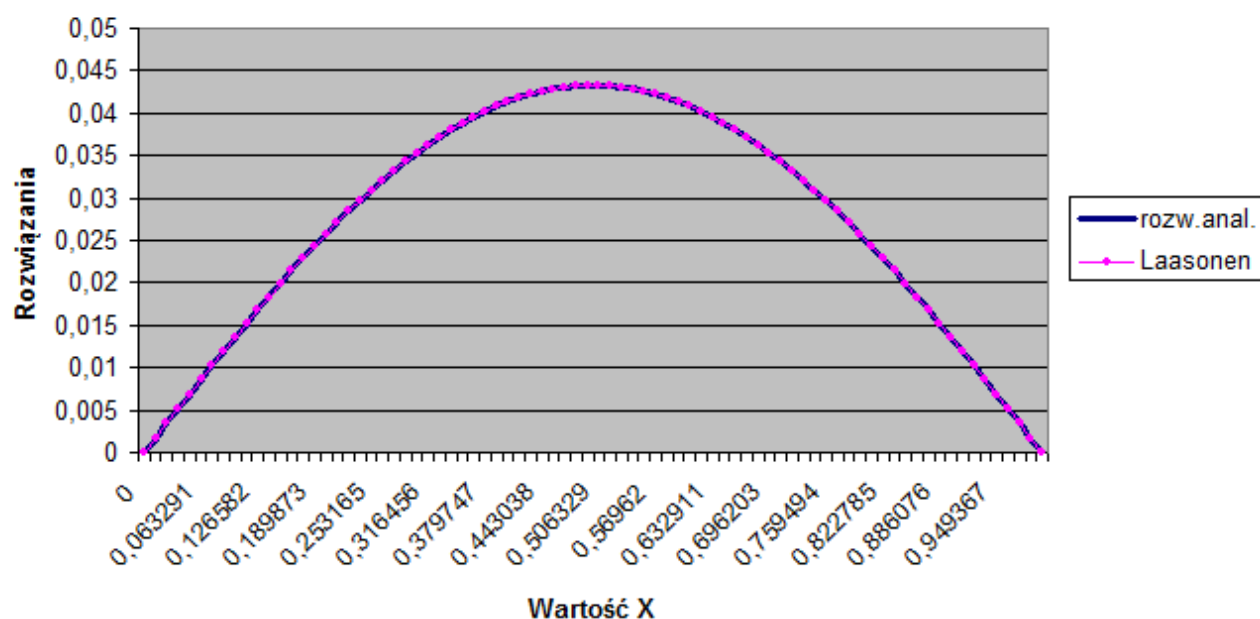


Wykres rozwiązań analitycznych oraz numerycznych (KMB) dla
 $T=0,477039$

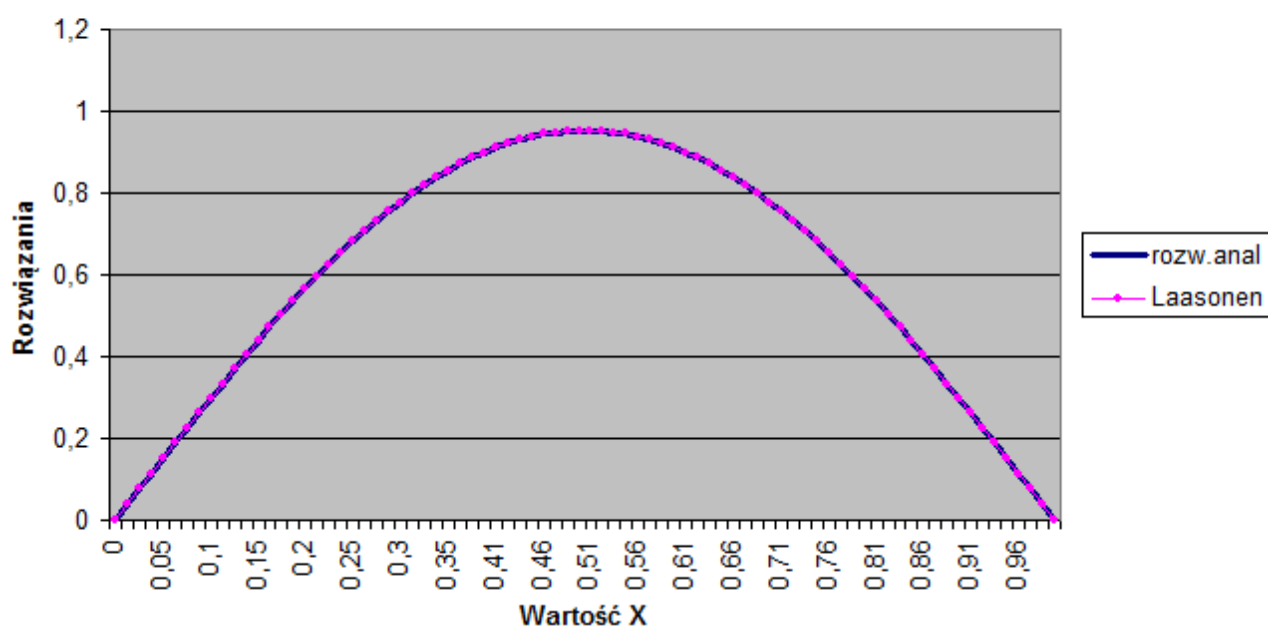


Dla Laasonen + Thomas:

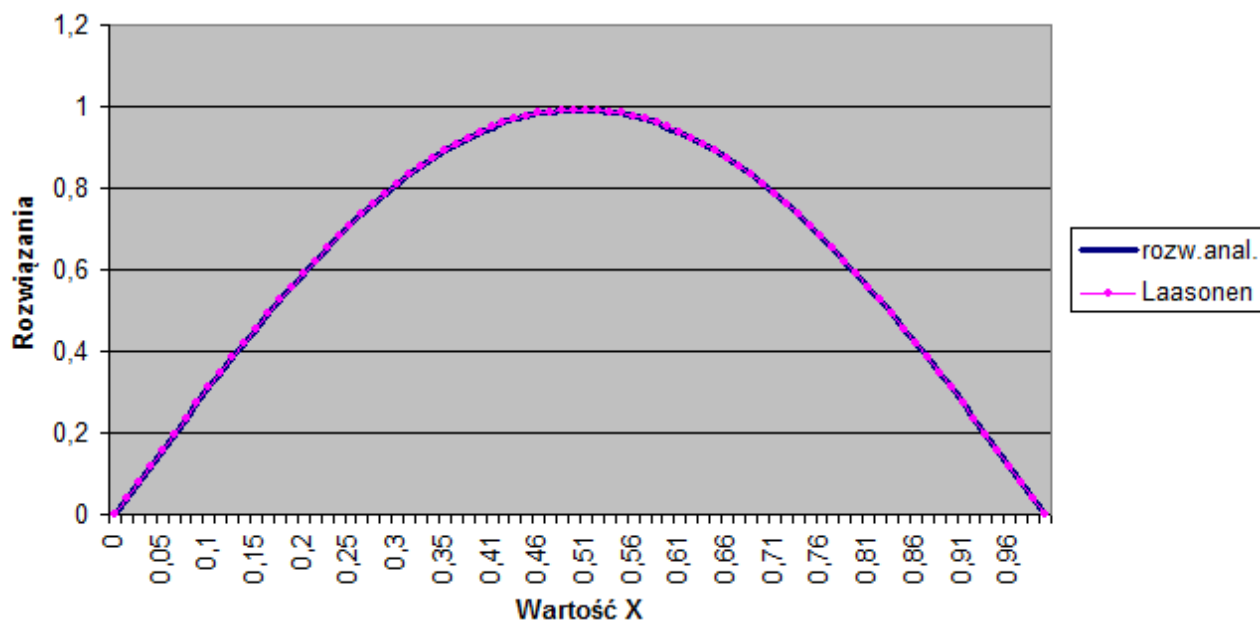
**Wykres rozwiązań analitycznych oraz numerycznych (Laasonen)
dla $T = 0,00448646$**



**Wykres rozwiązań analitycznych oraz numerycznych (Laasonen)
dla $T = 0,310848$**



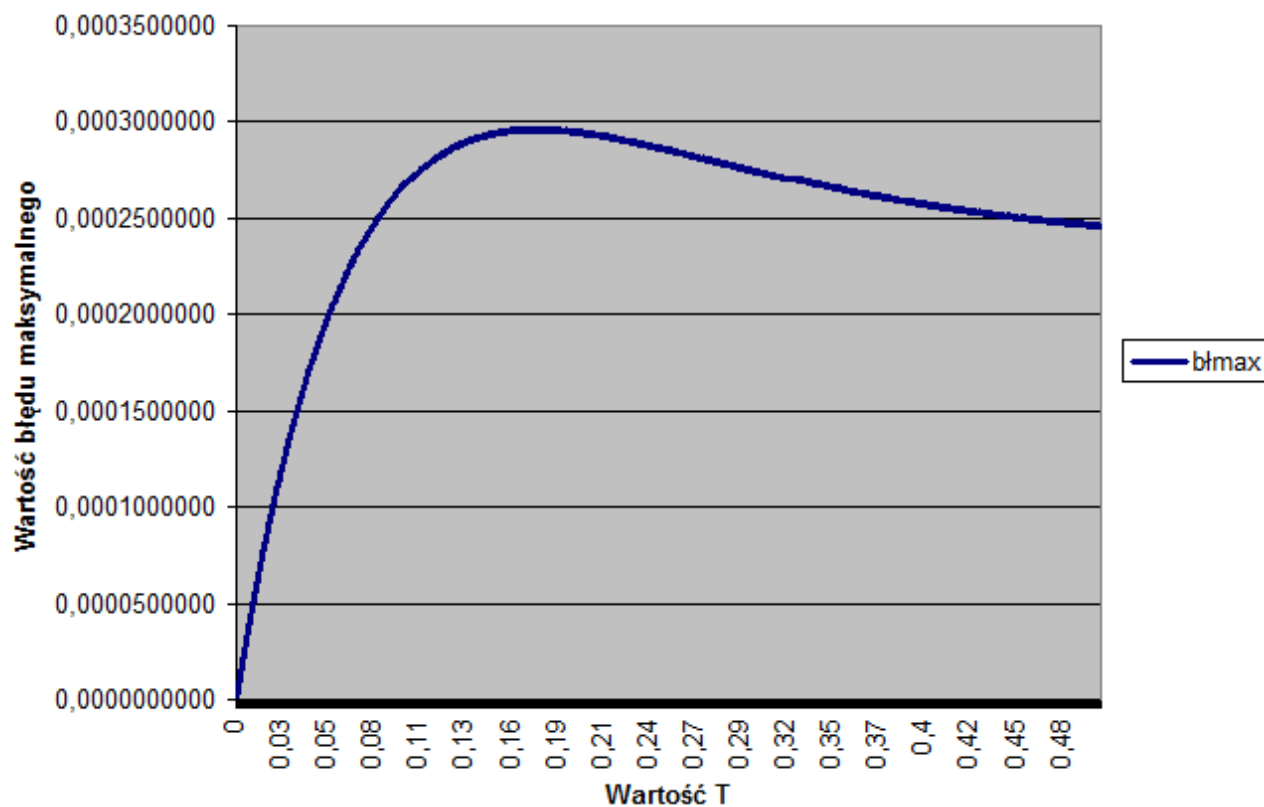
**Wykres rozwiązań analitycznych oraz numerycznych (Lassonen)
dla $T = 0,496395$**



c). Wykresy zależności maksymalnej wartości bezwzględnej błędu w funkcji czasu t .

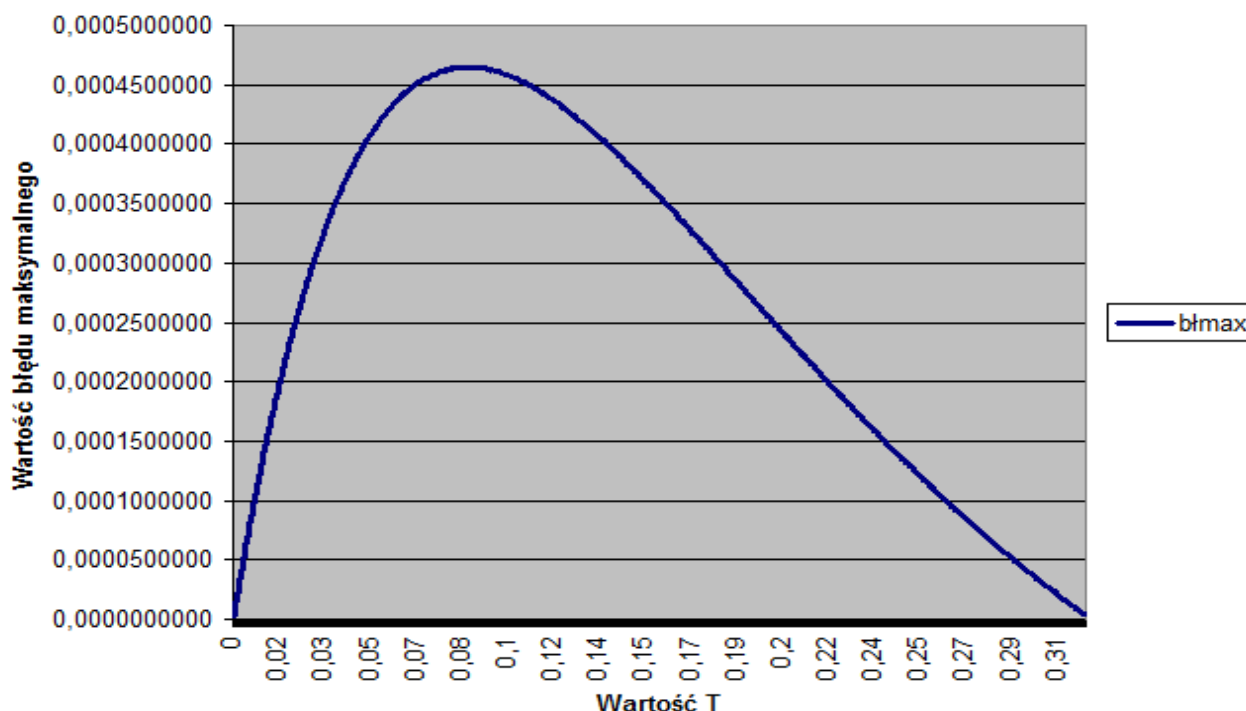
Dla KMB:

**Wykres zależność maksymalnej wartości bezwzględnej błędu w
funkcji czasu t .**



Dla Laasonen + Thomas:

Wykres zależność maksymalnej wartości bezwzględnej błędu w funkcji czasu t.



3. Wnioski.

Równanie wykorzystane w projekcie różniło się nieco od standardowego. Musiałem więc zmodyfikować nieco wzory wykorzystane do rozwiązań numerycznych.

Wzór na kolejne elementy macierzy A dla Klasycznej metody bezpośredniej:

$$A[i][j] = (\text{lambda} * A[i-1][j-1]) + (A[i-1][j] * (1 - (2 * \text{lambda}))) + (\text{lambda} * A[i-1][j+1]) + (\text{lambda} * \text{PI}^2 * \sin(\text{PI} * x) * h^2);$$

Wzory na elementy macierzy trójkątnej A:

$$A[j][j] = - (1 + 2 * \text{lambda});$$

$$A[j][j+1] = \text{lambda};$$

$$A[j][j-1] = \text{lambda};$$

$$b[j] = - A[i-1][j] - (\text{lambda} * \text{PI}^2 * h^2 * \sin(x * \text{PI}));$$

a). Z pierwszych wykresów wynika, że maksymalna wartość błędu dla tmax maleje wraz ze zmniejszaniem kroku h. Widzimy, że błąd maleje szybciej w metodzie pośredniej Laasonen. Rzeczydokładności wynoszą dla KMB: 2,00467286, oraz dla Laasonen: 1,99696047.

b). Na wykresach widzimy porównanie wyników analitycznych oraz numerycznych. Wyniki są podobne co świadczy o tym, że wybrane metody działają poprawnie. Ewentualne błędy wynikają z zaokrągleń oraz błędów odcięcia.

c). Na pierwszym wykresie widzimy, że dla Klasycznej metody bezpośredniej błąd zmniejsza się wraz ze wzrostem czasu t. Na drugim wykresie możemy jednak zaobserwować dużo szybsze spadek błędu wraz ze wzrostem czasu.